

동적 퍼지 추론에 의한 방류량 조절 가능 댐 수문 제어

우영운*, 이수종**, 김광백***

Controlling of Dam Gates with Outflow Control by Dynamic Fuzzy Inference

Young Woon Woo *, Soo-Jong Lee **, Kwang-Baek Kim ***

요약

댐의 수문 제어는 유입량이 변하는 동안 이루어지는 복잡하고 비선형적인 제어이다. 이 논문에서는 퍼지 추론 기법을 이용하여 유입량이 변하는 동안의 수문을 효과적으로 제어하기 위한 방법을 제안하였다. 특히 단순히 수문 제어에만 머물지 않고 가뭄 때를 대비하여 적정 수위를 유지할 수 있도록 하는 기능과, 하류 지역을 범람을 예방하기 위하여 방류량을 제어할 수 있도록 하는 기능을 보완하였다. 이를 위하여 일반적으로 사용되는 정적인 퍼지 함수를 이용하지 않고 상황에 따라 함수 값이 변하는 동적 퍼지 추론 기법과 방류량 제어를 위한 퍼지 규칙을 함께 적용함으로써 방류량을 제한할 수 있도록 하는 기법을 제안하였다. 제안한 기법을 이용하여 시뮬레이션 실험을 실시한 결과 수문 제어 기능뿐만 아니라 사용자가 지정한 적정 수위를 유지하고 정해진 방류량을 넘지 않도록 하는 방식으로 댐 수문 제어가 이루어짐을 확인할 수 있었다.

Abstract

Control of dam gates is a complex, nonlinear, and non-stationary control process and is significantly affected by hydrological conditions which are not predictable beforehand. In this paper, we proposed control methods based on a fuzzy inference method for the operation of dam gates. The proposed methods are not only suitable for controlling gates but also able to maintain target water level in order to prepare a draught, and able to control the amount of the outflow from a reservoir in order to prevent floods in lower areas of a river. In the proposed methods, we used the dynamic fuzzy inference method that membership functions can be varied by changing environment conditions for keeping up the target water level instead of conventional static fuzzy inference methods, and used additional fuzzy rules and membership functions for restricting the amount of the outflow. Simulation results demonstrated that the proposed methods produce an efficient solution for both of maintaining target water level defined beforehand and controlling the amount of the outflow.

- ▶ Keyword : 댐 수문 제어(Controlling of Dam Gates), 적정 수위(Target Water Level), 방류량 조절(Outflow Control), 동적 퍼지 추론(Dynamic Fuzzy Inference)

* 제1저자 : 우영운 교신저자 : 김광백

• 접수일 : 2008. 8. 18. 심사일 : 2008. 9. 25. 심사완료일 : 2008. 12. 24.

* 동의대학교 멀티미디어공학과 교수 ** 협성대학교 컴퓨터공학과 부교수 *** 신라대학교 컴퓨터정보공학부 교수

I. 서 론

댐을 안전하고 효율적으로 관리하기 위해서는 방출되는 물의 양을 늘리거나 줄이도록 수문을 제어하는 처리 과정이 중요하다. 현재 수문 관리는 상황에 따라 노련한 전문가에 의해 관리되고 있다. 전문가도 일반인과 같은 인간이므로 상황에 따라 부정확한 판단을 내릴 수도 있고, 수문 관리는 복잡하고 확률적으로 작용하기 때문에 유입량에 따른 결정이 어렵다는 특징을 갖고 있다. 실제로 유입량과 방류량은 시간의 변화에 따라 불규칙적으로 변하기 때문에 댐 수문 관리 시스템을 제작하기 어려운 것으로 알려져 있다[1].

이러한 복잡한 댐 수문을 효과적으로 제어하기 위해서 이 미 몇 가지 방법들이 고안되었다. Can과 Houck[2]은 다중 저수 시스템을 시간 단위로 관리하기 위한 목표 프로그래밍 모델을 제안하였고, Oshima와 Kosudaa[3]는 결정적 카오스 기법을 이용하여 요구 예측에 의한 분산 댐 제어 접근 방법을 제안하였다. Lioing 등[4]은 수위를 예측하기 위해 신경망 기법에 의한 예측 도구를 개발하여 방글라데시에 있는 Dhaka 댐에 적용하기도 하였다. 특히 Dervis Karaboga[5]는 직관적으로 성립된 25가지 퍼지 규칙과 이 규칙을 TS 알고리즘(Tabu Search algorithm) [6,7,8]을 이용하여 최적화시킨 15가지 퍼지 규칙을 이용하는 댐 수문 제어 기법을 제안하였다. 이 방법은 댐 내부의 수위가 지정된 범위 내에서 유지되도록 하고 시간에 따른 변화가 최대한 부드럽게 나타나도록 한다. 그 결과 TS 알고리즘을 이용한 방법이 직관적으로 성립된 방법보다 효율적이고 신뢰도가 높다는 결과가 나왔고, 유입량이 많다고 해서 수문을 높게 여는 것이 아니라 오랜 시간으로 나누어서 방류하는 방법으로 처리되도록 한다. 하지만 이 방법에서는 적정 수위를 유지하는 것이 아니라 댐의 최저 수위에 항상 수렴하는 특성을 갖고 있다.

그러나 일반적인 환경에서는 평소에도 적정 수위를 유지함으로써 가뭄 때에 부족한 생활용수나 농업용수를 보존할 필요가 있다. 또한 항상 적정 수위를 유지하는 것이 아니라 유입량의 변화가 생기는 경우에는 갑작스런 유입으로 인한 댐의 범람을 막기 위해 미리 방류할 수 있도록 하는 기능을 함께 가져야 한다. 또 한 가지 댐 수문 제어에서 중요한 기능은 방류량을 적절히 제어하는 것이다. 만약 유입량이 갑작스럽게 증가한다고 하여 이를 일시적으로 모두 방류해 버린다면 하류 지역에서는 갑작스런 강의 수위 증가로 인하여 범람이나 홍수를 야기할 수 있다.

따라서 이 논문에서는 이러한 문제점을 해결하기 위하여 Dervis Karaboga에 의해 제안된 방법에 적정 수위를 유지하면서 방류량을 제어할 수 있도록 하는 기능을 추가하여, 유입량이 적거나 일정한 경우에도 적정 수위를 유지할 수 있도록 하고 갑작스러운 유입량 증가에도 댐의 저장 용량 한계값을 넘지 않는 범위 내에서는 방류량을 적절히 조절할 수 있도록 하였다. 이를 위해 기존의 정적인 퍼지 기법을 사용하는 것이 아니라 상황 변화에 따라 능동적으로 대처가 가능하도록 하는 동적 퍼지 추론 기법과 이 기법에 의해 산출된 댐 수문 제어 결과 함수와 방류량 제어를 위한 규칙들에 의해 산출된 댐 수문 제어 결과 함수를 함께 고려하여 비퍼지화된 최종 수문 제어값을 구하는 처리 기법을 제안하였다. 제안한 기법들의 성능을 평가하기 위해 Dervis Karaboga가 제안한 방법과의 비교 실험을 실시하였으며 그 분석 결과를 제시하였다.

II. 퍼지 기법을 이용한 댐 수문 제어

퍼지를 이용한 댐 수문 제어를 위한 입력 변수로는 수위와 관련된 Lake_Level(H)과 변화 수위와 관련된 Delta_Level(dH) 그리고 적정 수위와 관련된 Fit_Level이고 출력 변수는 Gate(d)이다. Lake_Level, Delta_Level, Fit_Level, Gate의 표준화 간격으로는 Lake_Level과 Fit_Level은 최저 수위 118m부터 최고 수위 127m이고, Delta_Level은 최저 -1m부터 최고 1m이고, Gate는 최저높이 0m부터 최고 높이 12m로 정하였다.

퍼지 기법을 이용한 댐 수문 제어를 위한 전체적인 공통 처리 기법은 다음과 같다. 표 1과 같이 25가지의 퍼지 추론 규칙이 경험적으로 구성되었고, 각 퍼지 변수에 대한 소속도(membership grade)는 그림 1과 같이 세 종류의 퍼지 멤버십 함수(fuzzy membership function)에 의해 표현된다. 이와 같은 퍼지 추론 규칙은 기존의 퍼지 제어 연구에서 많이 활용되고 있는 구조이다[9].

표 1. 댐 수문 제어를 위한 25가지 퍼지 추론 규칙
Table 1. 25 fuzzy inference rules for controlling dam gates

$dH \backslash H$	NB	NS	ZE	PS	PB
VL	VL	VL	VL	VL	VL
L	L	L	L	L	L
M	M	M	M	M	M
H	H	H	H	H	H
VH	VH	VH	VH	VH	VH

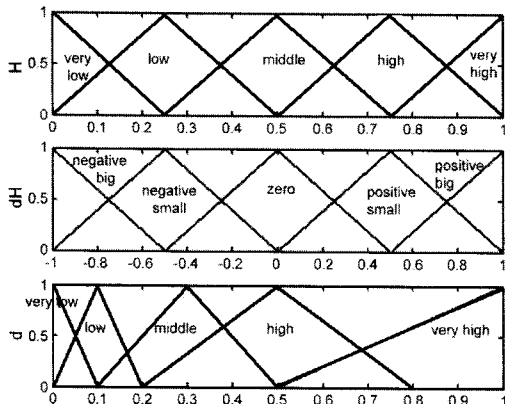


그림 1. 댐 수문 제어를 위한 퍼지 멤버십 함수
Fig. 1. Fuzzy membership functions for controlling dam gates

변화 수위에 관한 퍼지 입력은 총 5 단계로 나누어진다. 즉, Negative Big(NB), Negative Small(NS), Zero(Z), Positive Small(PS), Positive Big(PB)로 나누어진다. 입력 값의 계산 과정은 다음과 같다.

$$\text{방류량} = \text{Gate} \times \text{OutFlow} \quad \dots \dots \dots \quad (1)$$

$$\text{변화량} = (\text{유입량} - \text{방류량}) \times 3600 \quad \dots \dots \dots \quad (2)$$

$$\text{변화후 용량} = \text{현재수위에 따른 용량} + \text{변화량} \quad \dots \dots \dots \quad (3)$$

$$\Delta_Level = \text{변화량에 의해 변화된 수위} - \text{현재 수위} \quad \dots \dots \dots \quad (4)$$

OutFlow는 1m 변화에 따라 $700\text{m}^3/\text{s}$ 이고, 수식 (6)에서 3,600을 곱하는 이유는 유입량과 방류량은 단위가 초(second) 단위이고 현재용량은 시(hour) 단위이기 때문이다. 표 2와 같이 수위에 따른 용량을 이용해서 변화 후 용량과 수위를 알아낸다.

수문 제어를 위한 출력값을 산출하기 위해서는 표 1과 같이 직관적으로 성립된 25가지의 퍼지 규칙들을 사용하였으며 추론 기법으로는 Mamdani의 Max-Min 추론 기법[10]을 이용하였다. 또한 비퍼지화(Defuzzification) 방법으로는 Center of Sum 방법을 사용하였다. 여기서 Center of Sum 방법을 사용한 경우에는 특성 상 한번 수문이 열리면 절대 닫히지 않는 단점이 나타난다. 따라서 이 점을 보안하기 위해 비퍼지화 과정에서 Very Low(VL)에 한해서는 최종 출력값(\bar{z})에 0을 곱하였다.

표 2. 수위에 따른 저장 용량
Table 2. The storage of reservoir by water level

수위(m)	저장용량(10^6m^3)
112.5	1250
115.0	1420
117.5	1560
120.0	1735
122.5	1900
125.0	2120
127.5	2310
130.0	2550

이 논문에서는 이상에서 설명된 처리 기법을 기반으로 하여, 적정 수위를 유지하고 방류량을 제어하기 위해 수위에 관한 퍼지 멤버십 함수가 적정 수위(Fit_Level)에 따라 변화하는 두 가지 기법과 방류량 제어를 위한 퍼지 규칙을 함께 적용하는 기법을 제안하였다.

2.1 적정수위 유지를 위한 첫 번째 제안기법

첫 번째 제안 기법은 기존 퍼지의 폭을 최대한 유지하면서 퍼지의 단계를 줄이는 방법이다. 이 방법에서 퍼지의 단계를 줄이는 이유는 적정 수위와 최고 수위 사이의 간격이 좁은데 그 사이에 5가지 단계를 모두 넣을 경우 약간의 수위 변화에도 수문의 개폐가 수시로 변하게 되고, 이로 인해 시스템 상으로 처리가 불안할 수 있다고 예상했기 때문이다. 제안한 기법에서 수위에 관한 퍼지 함수를 결정하는 방법은 다음과 같다.

우선 적정 수위로부터 최고수위 사이에 들어갈 퍼지 단계의 개수를 결정해야한다. 이를 위해 그림 2에 나타난 Point_Count 값과 정규화된 수위값(x축)에 따라 수식 (5)를 만족할 때마다 Count를 1씩 증가시킨 다음 Count를 수식 (6)에 대입하면 각 퍼지 함수의 좌우 간격이 나오게 된다. 그 간격에 따라 수위에 관한 퍼지 함수들이 결정된다.

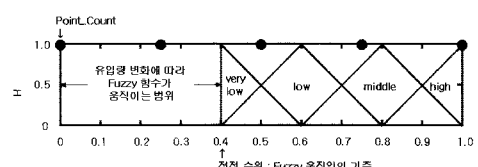


그림 2. 첫 번째 제안 기법의 수위에 관한 퍼지 함수
Fig. 2. The fuzzy membership function for water level in the first proposed method

예를 들어 그림 2와 같이 적정 수위값보다 큰 포인트의 개수는 3개이고 정규화된 적정 수위값이 0.4이므로 Step은 $(1-0.4)/3$ 으로 0.2의 값이 산출된다. 따라서 페지 함수의 x축 절편이 0.4, 0.6, 0.8, 1.0의 4가지를 사용하게 되므로 페지 함수는 하위 4개만 사용되도록 하는 것이다.

유입량 변화가 없고 일정한 경우에는 적정 수위(Fit_Level) 값을 그대로 유지하고 유입량에 변화가 발생하는 경우 적정 수위 값을 변경한다. 유입량의 변화는 수식 (7)과 같이 정의 된다.

수식 (7)에서 유입량의 변화가 양수인 경우에는 적정 수위 값을 0이 될 때까지 시간에 따라 감소를 시키고, 음수인 경우에는 적정 수위 값을 적정 수위가 될 때까지 시간에 따라 증가를 시킨다. 시(hour)를 단위로 하여 수식 (5)와 수식 (6)을 계속 반복하는 방식으로 처리가 이루어진다.

2.2 적정수위 유지를 위한 두 번째 제안기법

두 번째 제안 기법은 기존 퍼지 단계를 그대로 유지하면서 함수 폭을 줄이는 방법이다. 이 기법은 첫 번째 제안한 기법 설명에서 언급한 것처럼 실제로 이 방법이 예상했던 문제점이 있는지를 확인해 보고자 제안하였다. 두 번째 제안 기법에서 수위에 관한 퍼지 함수를 결정하는 방법은 다음과 같다.

이 기법에서는 수식 (8)에 의해 각 단계별 사이의 좌우 간격이 나오게 되고, 그 간격에 따라 수위에 관한 퍼지 함수들이 결정된다. 이 후 과정은 첫 번째 제안 기법과 동일하다.

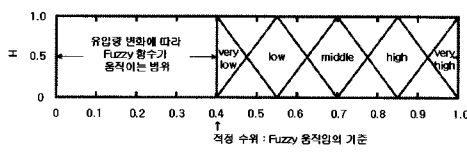


그림 3. 두 번째 제안 기법의 수위에 관한 퍼지 함수
 Fig. 3. The fuzzy membership function for water level in the second proposed method

예를 들어 적정수위가 0.4인 경우에는 Step이 $(1-0.4)/4$ 로 0.15가 되므로 퍼지 함수의 x축 절편이 0.4, 0.55, 0.7, 0.85, 1.0의 5가지 값을 사용하게 되므로 퍼지 함수는 항상 5개를 다 사용하되 그 간격만 줄어들게 된다.

2.3 방류량 제어를 위한 제안 기법

방류량 제어를 위해 제안한 기법에서는 댐 수문 제어에 관계되는 아래의 3가지 퍼지 규칙을 제안하였다.

IF 초과방류을 IS low THEN Gate(d) is high

IF 초과방류율 IS middle THEN Gate(d) is middle

IF 초과방류율 IS high THEN Gate(d) is low

이 규칙들은 현재 수위(Lake_Level)가 지정된 댐의 최대 수위보다 낮고 현재 방류량(OutFlow)이 지정된 최대방류량 보다 높을 경우에만 동작되도록 한다. 이상의 규칙에서 나타난 초과방류율 입력값은 현재 방류량과 허용되는 최대방류량 을 이용하여 수식 (9)와 같이 계산되며, 이 값을 그림 4에 나타난 퍼지 함수들에 대한 입력으로 사용하고 Gate(d)에 대한 출력 결과를 그림 1의 Gate(d)에 대한 퍼지 출력 함수에 의해 산출한 후, 이 결과를 앞 절에서 제안한 기법에 의한 출력 결과와 함께 이용하여 비퍼지화를 수행함으로써 최종 댐 수문의 개방 높이를 계산하게 된다.

$$\text{초과방류율} = \frac{(\text{현재방류량} - \text{최대방류량})}{\text{최대방류량}} \dots\dots\dots (9)$$

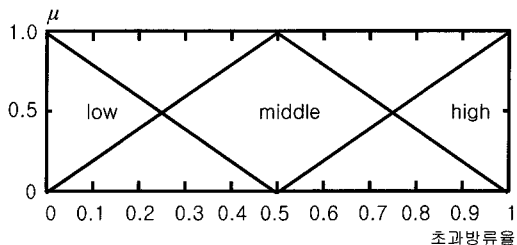


그림 4. 방류량 제어를 위한 입력 퍼지 함수
 Fig. 4. The fuzzy membership function for controlling the amount of the outflow

III. 실험 결과 및 분석

3.1 적정수위 유지를 위한 제안 기법의 실험 결과

이 논문에서 제안한 기법들의 성능을 비교하기 위하여 그림 5에 나타나 있는 것처럼 VC++ + 6.0을 이용하여 시뮬레이션 프로그램을 구현하였다. 이 시뮬레이션 프로그램을 이용하여 동일한 유입량 데이터와 적정 수위(122m)를 가지고 초기 현재 수위를 세 가지 경우(낮음, 적정, 높음)로 설정하여 Dervis Karaboga가 제안한 기법과 이 논문에서 제안한 기법을 비교 실험하였다. 각 그림에 나타나 있는 'Prop#1'은 이 논문에서 제안한 첫 번째 제안기법을 나타내며, 'Prop#2'는 이 논문에서 제안한 두 번째 제안기법을 나타낸다.

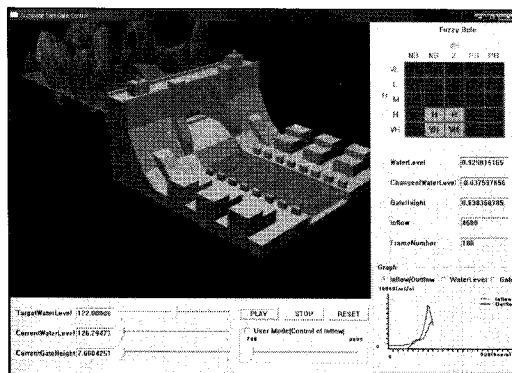


그림 5. 구현된 시뮬레이션 프로그램
Fig. 5. The implemented simulation program

첫 번째 시뮬레이션 실험으로서 초기 현재 수위를 낮은 수위로 했을 때를 비교해 보면(그림 6-8), 유입량의 변화에 따라 수위의 변화는 이 논문에서 제안한 방법들과 Dervis Karaboga가 제안한 방법이 비슷한 형태로 변하지만 이 논문에서 제안한 방법에 따른 수문 높이는 현재 수위가 적정 수위가 될 때까지 수문을 개방하지 않다가 적정 수위를 넘어서는 순간부터 수문을 개방하게 된다. 그리고 유입량의 변화가 다시 일정하게 되는 경우 Dervis Karaboga가 제안한 방법은 최저 수위로 수렴하려고 하지만 이 논문에서 제안한 방법들은 적정 수위 이하로 내려가지 않고 유지하는 특성을 보였다.

또한 두 번째 제안 기법은 첫 번째 제안 기법보다 정해진 정적 수위에 더욱 정확하게 접근을 하고, 방류량과 수문의 변화가 연속적인 곡선의 형태를 나타내는 반면 첫 번째 제안 기

법은 유입량이 갑작스럽게 변하는 부분에서 방류량과 수문의 변화가 급격하게 변하며 불연속적인 형태를 나타냈다. 이러한 불연속적인 형태는 수위의 변화에 따라 퍼지의 단계가 늘어나거나 줄어드는 순간에 발생한 것으로 파악되었다.

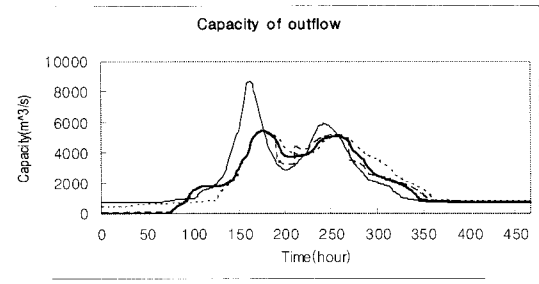


그림 6. 첫 번째 시뮬레이션에서의 방류량 변화
Fig. 6. Variation of the outflow in the first simulation

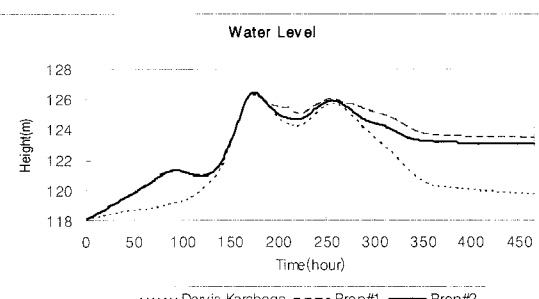


그림 7. 첫 번째 시뮬레이션에서의 수위 변화
Fig. 7. Variation of the water level in the first simulation

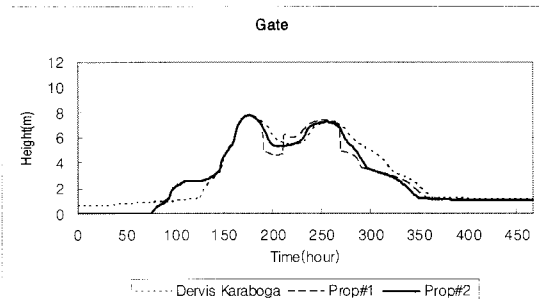


그림 8. 첫 번째 시뮬레이션에서의 수문 변화
Fig. 8. Variation of the gate in the first simulation

두 번째 시뮬레이션 실험으로서 초기 현재 수위를 적정 수위로 했을 때를 비교해 보면(그림 9-11), Dervis Karaboga가 제안한 방법은 항상 최저 수위에 수렴하기 때문에 수위를 계속

낮추도록 제어하는 반면 이 논문에서 제안한 방법들은 적정 수위를 유지하다가 유입량의 변화가 생길 때 갑작스런 변화에 대비하기 위해 미리 방류를 통해 수위를 낮추는 방식으로 제어한다. 그리고 유입량의 변화가 다시 일정하게 되면 Dervis Karaboga가 제안한 방법에서는 최저 수위로 수렴하지만 제안한 기법들에서는 적정 수위를 유지하는 것을 확인할 수 있었다. 다만 낮은 수위에서와 같이 두 번째 제안 기법에 적정 수위에 더 정확하게 접근하며 연속적이고 부드러운 곡선 형태를 보였다.

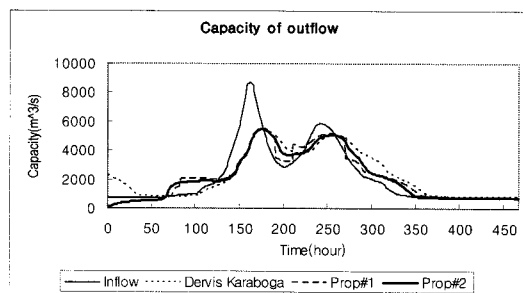


그림 9. 두 번째 시뮬레이션에서의 방류량 변화
Fig. 9. Variation of the outflow in the second simulation

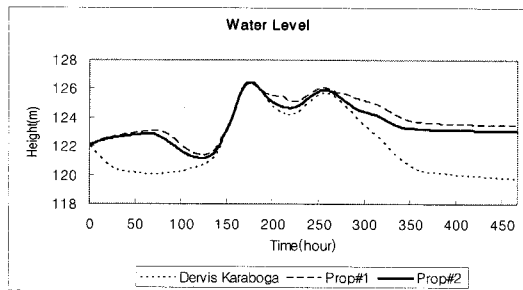


그림 10. 두 번째 시뮬레이션에서의 수위 변화
Fig. 10. Variation of the water level in the second simulation

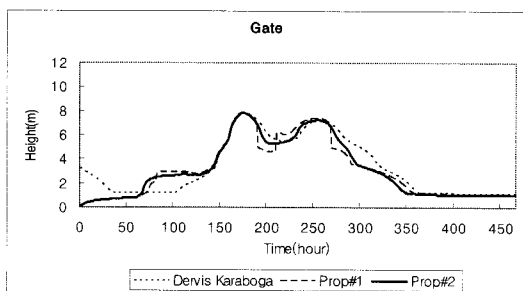


그림 11. 두 번째 시뮬레이션에서의 수문 변화
Fig. 11. Variation of the gate in the second simulation

세 번째 시뮬레이션 실험으로서 초기 현재 수위를 높은 수위(125m)로 했을 때를 비교해 보면(그림 12-14), 기존의

기법과 제안한 기법 2가지는 모두 초기 수위가 적정 수위보다 높기 때문에 초기부터 수위가 내려가도록 제어하고 있다. 그러나 Dervis Karaboga가 제안한 방법은 적정 수위에 도달 하여도 계속 수위를 낮추도록 제어하는 반면 제안한 기법들에서는 적정 수위에 도달하면 방류량을 줄여 적정 수위를 유지하는 방식으로 제어하고 있다. 이 이후에 나타나는 변화는 앞의 실험 결과들과 동일함을 알 수 있다.

이상의 실험 결과에서 알 수 있듯이 유입량이 변하는 동안 수위, 방류량 그리고 수문의 변화가 연속적이고 부드러운 곡선의 형태를 나타내는 두 번째 제안 기법이 땀 수문을 제어하기에 보다 효율적이라고 판단된다.

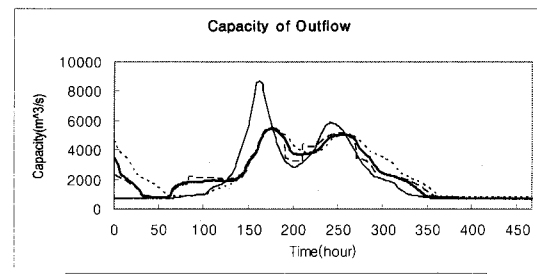


그림 12. 세 번째 시뮬레이션에서의 방류량 변화
Fig. 12. Variation of the outflow in the third simulation

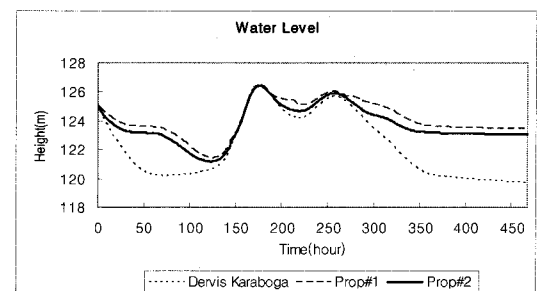


그림 13. 세 번째 시뮬레이션에서의 수위 변화
Fig. 13. Variation of the water level in the third simulation

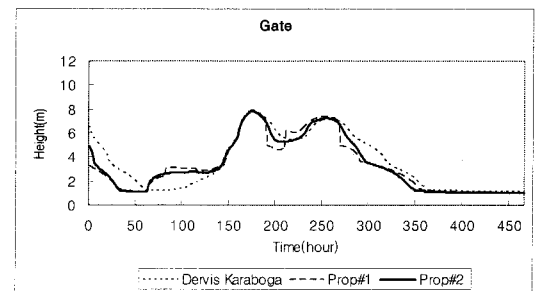


그림 14. 세 번째 시뮬레이션에서의 수문 변화
Fig. 14. Variation of the gate in the third simulation

3.2 방류량 제어를 위한 제안기법의 실험 결과

이 논문에서 제안한 방류량 제어 기법의 성능을 파악하기 위해 이상에서의 실험과 동일하게 유입량 데이터, 적정 수위 (122m), 초기 수위를 적정 수위 등으로 설정한 후 최대방류량만을 $5,000 \text{ m}^3/\text{s}$ 로 제한하는 기능을 설정하여 실험하였다. 그림 15는 최대방류량 제어 기능이 동작되는 상태에서의 유입량과 방류량 변화를 보여준다. 이 그림에서 알 수 있듯이 방류량이 5,000을 넘어서는 순간 방류량이 줄어들어 항상 5,000을 크게 초과하지 못하는 것을 확인할 수 있다. 이러한 결과를 낳도록 하는 수문 높이의 변화는 그림 16과 같다. 그림 16에서 알 수 있듯이 유입량이 갑자기 증가되어 방류량을 늘리기 위해 수문이 열리다가 방류량이 5,000을 넘어서는 순간에 수문이 다시 닫히는 식으로 동작됨을 확인할 수 있다. 그림 17은 댐의 전체 수위 변화를 나타내고 있다. 이 그림에 나타나 있듯이 방류량을 제어하는 기능으로 인해 방류량을 제한하는 시점에서 전체 수위가 일시적으로 앞의 실험 결과(그림 10)보다 더 높아짐을 확인할 수 있다.

그러나 방류량이 5,000을 전후하여 새로운 퍼지 규칙들의 동작이 시작되거나 종료되는 순간에 산출되는 수문 제어값에 일시적으로 급격한 변화가 나타나 그래프가 불연속적으로 형성되는 문제가 발생하였다.

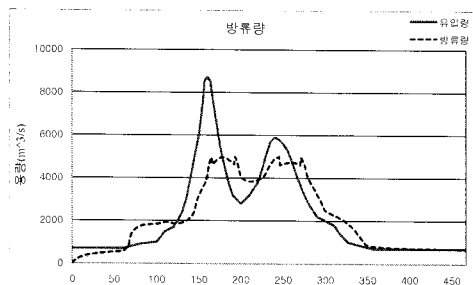


그림 15. 방류량 제어에 의한 방류량 변화
Fig. 15. Variation of the outflow by outflow control

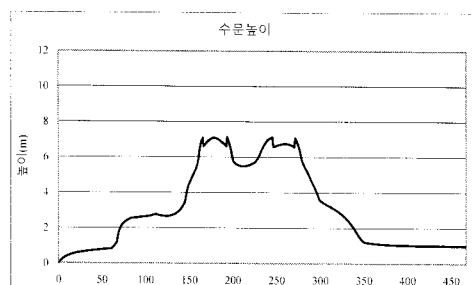


그림 16. 방류량 제어에 의한 수문 높이 변화
Fig. 16. Variation of the gate by outflow control

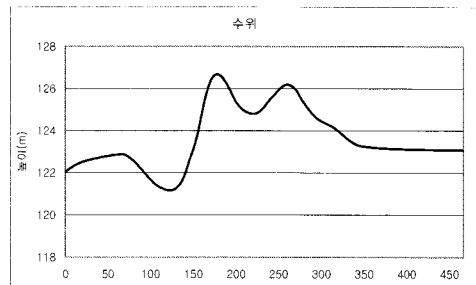


그림 17. 방류량 제어에 의한 수위 변화
Fig. 17. Variation of the water level by outflow control

이상의 실험 결과들에서 나타나 있듯이 이 논문에서 제안한 기법들은 기존 연구 결과에 비하여 관리자가 원하는 적정 수위를 유지한다는 장점과 방류량을 제어한다는 장점이 있음을 확인할 수 있었다.

VI. 결 론

댐의 수문을 제어하기 위해서는 유입량이 갑작스럽게 변하는 경우보다 유입량이 일정한 경우가 다수 존재하고, 댐의 역할 중에 기뭄 때 물을 저장하여 부족한 생활용수나 농업용수를 채워주는 것도 중요한 역할 중에 하나로 판단되기 때문에 적정 수위 유지가 필요하다. 또한 하류지역의 범람이나 홍수에 대비하기 위하여 댐의 수위가 한계에 도달하지 않는 범위 내에서라면 방류량을 적절히 제한하는 기능도 필요하다. 따라서 이 논문에서는 기존의 댐 수문 제어 기법에 적정 수위를 유지하고 방류량을 제어할 수 있도록 하는 댐 수문 제어 기법들을 제안하고 그 성능을 시뮬레이션 실험을 통하여 비교, 분석하였다. 그 결과 제안한 기법들이 기존의 기법에서는 처리되지 않았던 적정 수위 유지 기능과 방류량 제한 기능이 동작함을 확인할 수 있었다. 또한 적정 수위 유지를 위해 제안한 두 가지 기법들 중에서는 두 번째 제안 기법이 보다 부드럽고 정확한 제어가 가능함을 확인할 수 있었다. 그러나 방류량 제어를 위해 제안된 추가적인 규칙들이 동작되기 시작하거나 종료되는 순간에 나타나는 댐 수문 제어값의 불연속적인 변화 문제는 향후 연구에서 해결되어야 할 것으로 생각한다.

저자 소개

참고문헌

- [1] S.L. Udall, Design of Small Dams United States department of the Interior, Bureau of Reclamation, Washington, 1961.
- [2] E.K. Can, M.H. Houck, "Real-time reservoir operations by goal programming." J. Water Resourc. Plan. Manage. ASCE, Vol.110, No.3, pp.297 - 309, 1984.
- [3] N. Oshimaa, T. Kosudaa, "Distribution reservoir control with demand prediction using deterministic-chaos method." Water Sci. Technol., Vol.37, No.12, pp.389 - 395, 1998.
- [4] S. Liong, W. Lim, T. Kojiri, T. Hori, "Advance flood forecasting for flood stricken Bangladesh with a fuzzy reasoning method." Hydrol. Process., Vol.14, pp.431 - 448, 2000.
- [5] Dervis Karaboga, Aytekin Bagis, Tefaruk Haktanir, "Controlling spillway gates of dams by using fuzzy logic controller with optimum rule number," 2007.
- [6] F. Glover, "Tabu search-part 1", ORSA, J. Comput. Vol.3, No.1, pp.190-206, 1989.
- [7] F. Glover, "Tabu search-part 2", ORSA, J. Comput. Vol.1, No.2, pp.4-32, 1990.
- [8] F. Glover, "A user's guide to tabu search", Ann. Ops. Vol.41 pp.3-28, 1993.
- [9] 이세일, "레이싱 게임에서 순위 결정을 위한 퍼지 논리 아키텍처," 한국컴퓨터정보학회논문지 제10권, 제1호, pp.133 - 140, 2005.
- [10] Timothy J. Ross, Fuzzy Logic with Engineering Applications(2nd ed.), Wiley, 2004.



우영운

1991년 8월 연세대학교 본대학원 전 자공학과(공학석사)
 1997년 8월 연세대학교 본대학원 전 자공학과(공학박사)
 1997년 9월~현재 동의대학교 멀티미디어공학과 교수
 <관심분야> 인공지능, 패턴인식, 퍼지 이론, 의료정보



이수종

1994년 8월 연세대학교 본대학원 전자공학과(공학석사)
 2001년 8월 연세대학교 본대학원 전기·컴퓨터공학과(공학박사)
 2002년 3월~현재 협성대학교 컴퓨터공학과 교수
 <관심분야> 영상처리, 퍼지이론, 인간 시각시스템



김광백

1999년 부산대학교 전자계산학과 (이학박사)
 1997년~현재 신라대학교 컴퓨터정보공학부 교수
 2005년~현재 한국멀티미디어학회 학술 이사 및 논문지 편집위원
 <관심분야> Neural Networks, Image Processing, Fuzzy Logic, Medical Imaging and Biomedical System